

文章编号:1671-8860(2008)10-1088-04

文献标志码:A

基于 Cache 时间特性的 AES 差分时间分析攻击

邓高明¹ 张 鹏¹ 赵 强¹ 刘晓芹¹

(1 军械工程学院计算机工程系, 石家庄市和平西路 97 号, 050003)

摘要: 通过分析数组访问操作的索引值与 Cache 命中的关系, 找到了数组索引值与访问时间的弱线性关系, 并用数组访问实验进行了验证。在一般对称加密实现过程中数组访问索引值与明/密文以及最密钥之间的关系的基础上, 提出了一种基于 Cache 时间特性的差分时间分析旁路攻击方法, 通过实验验证了在 4×10^4 组随机样本条件下, 将 AES-128 最后一轮子密钥 16 个字节的密钥搜索空间从 2^{128} 缩小到 2^{98} 。

关键词: 旁路攻击; Cache 时间特性; 差分分析; AES

中图法分类号: TN918

基于 Cache 时间特性的密码旁路攻击^[1]是密码旁路分析中新兴的一种方法, 它利用 Cache 在 PC 机中的快速缓存作用, 结合大多对称密码实现中的查表操作, 通过精确测量加密程序在 PC 机上的运行时间, 并对运行时间加以分析得到加密程序中的秘密信息。利用差分分析的统计方法能有效地消除噪声, 突出与秘密信息相关的时间特性, 进而从中萃取出秘密信息, 对密码安全构成了巨大的威胁。本文提出一种针对 AES 密码的基于 Cache 时间特性的差分分析方法, 并针对 Linux 系统下 OpenSSL 库中的 AES 快速实现进行了攻击。

1 数组操作的 Cache 时间特性

Cache 的容量比主存储器要小得多, 而且读写 Cache 和读写主存储器的时间有很大差别, 所以 CPU 访问 Cache 时的命中 (Cache Hit) 和失效 (Cache Miss) 情况就会从时间延迟这个旁路泄漏出信息。现代一般 CPU 访问 Cache 时命中的情况下仅需要 0.3 ns 左右, 而失效的情况下则需要从主存中获取数据, 需要将近 50 ns^[2], 这 100 多倍的时间差在多次操作时累积起来是非常明显的差距。

Cache 中存储的是内存中最近被访问的数据的映像, 当主存中的数据被访问的时候, 这些数据就会将 Cache 中的旧数据替换出去。紧接其后的

相同位置的主存访问就只需要从 Cache 中获取数据。CPU 与 Cache 之间的数据交换以字为单位, 而 Cache 与主存之间的数据交换以行为单位。为了说明 Cache 在进行数组操作时的时间效应, 在表 1 所示配置的环境下进行了如图 1 所示的实验。

表 1 实验设备参数

Tab. 1 Configuration of the Device

CPU	Intel Pentium 4	1.70 Hz
L1 Cache	容量	8 kB
	集联	4 通道
	行大小	64 byte
	容量	512 kB
L2 Cache	集联	8 通道
	行大小	64 byte

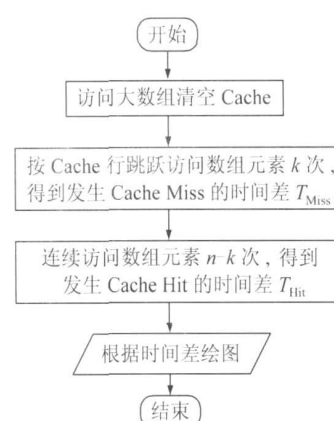


图 1 Cache 时间特性分析实验流程图

Fig. 1 Flow Chart of Cache Timing Experiment

观测Cache命中和失效情况下访问数据的时间延迟,得到的规律如图2所示。从图中可以看到,随着Cache Miss次数M从1到16的逐渐增多,16次数组访问操作的运行时间T也逐渐增大,而且数组操作的运行时间和Cache Miss次数基本成正比例关系, $T=kM$ 。这里的k和配置环境有关,主存储器时间延迟越大,k的值也就越大。至此,可以明确地得到结论,可以从数组操作运行时间推断操作中的Cache Miss的次数。

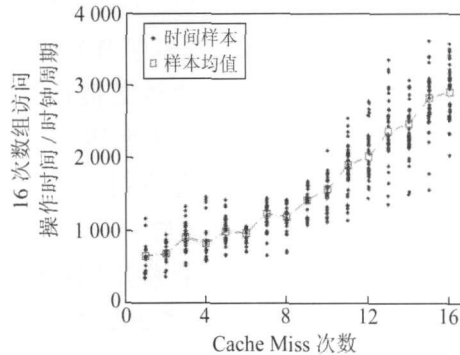


图2 Cache命中/失效比与程序运行时间的关系

Fig. 2 Relationship Between Cache Misses and Time

2 差分时间分析原理

差分时间分析是用统计的方法对多次不同明文的加密程序运行时间进行分析,利用大样本来消除不需要的噪声信号,提取有用的信号,具有较强的攻击能力。

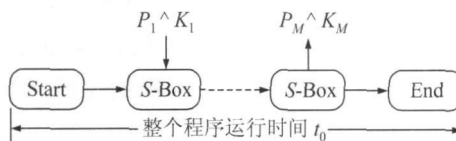


图3 密码程序中的M次数组操作模型

Fig. 3 M Array Accesses in Cipher Model

首先给出如图3所示的密码程序数组操作模型。假设有对同一个S-Box的M次操作,使用的索引值分别为 $\text{index}[j]=P_j^K_j$,其中 $1 \leq j \leq M$ 。差分时间攻击的步骤如下。

1) 获得N个随机的明文输入 PT_i 和对第l次加密过程进行记录得到的时间 T_i ,其中 $1 \leq l \leq N$;

2) 穷举猜测子密钥块 K_i 和 K_j 的值,根据每次猜测的值和所有明文推算计算:

$$D = f(PT, Kx) = (PT_i^Kx_i - PT_j^Kx_j) / \text{Cache-Line-Size} \quad (1)$$

并根据D的取值,把 $D=0$ 对应的明文和加密这个明文的时间划分到集合 S_0 中,把 $D \neq 0$ 对应的明文和加密这个明文的时间划分到集合 S_1 中;

3) 分别求集合 S_0 和 S_1 中时间的平均值 A_0 和 A_1 :

$$A_0 = \frac{1}{|S_0|} \sum_{T_i \in S_0} T_i, A_1 = \frac{1}{|S_1|} \sum_{T_i \in S_1} T_i \quad (2)$$

式中, $|S_0|$ 和 $|S_1|$ 分别表示 S_0 和 S_1 的元素个数。然后对两个平均值作差,得到差分时间值D:

$$D = |A_1 - A_0| \quad (3)$$

4) 如果D的值接近于0,则可以推断子密钥块 K_i 和 K_j 的猜测是错误的;如果D的值远大于0,超过了Cache访问的时间延迟 ΔT ,则可以推断子密钥块 K_i 和 K_j 的猜测是正确的。

因为如果对子密钥块 K_i 和 K_j 的猜测是正确的,那么集合 S_0 中的明文就都满足 $(PT_i^Kx_i - PT_j^Kx_j) / \text{Cache-Line-Size} = 0$,也就是Cache操作都是满足Cache Hit,而集合 S_1 中的明文都满足 $(PT_i^Kx_i - PT_j^Kx_j) / \text{Cache-Line-Size} \neq 0$,即Cache操作都是满足Cache Miss,对应的时间平均值 A_1 和 A_0 之差就是Cache访问的时间延迟和主存访问的时间延迟的差,这个值就应该远大于0;否则如果对子密钥块 K_i 和 K_j 的猜测是错误的,对集合 S_0 和 S_1 的划分就是随机的,在大样本的情况下,两个随机集合 S_0 和 S_1 中的时间平均值 A_0 和 A_1 就会非常接近,其差值会非常接近于0。

3 针对AES的攻击

3.1 AES密码算法快速实现

AES(advanced encryption standard)^[3]密码算法支持128位、192位和256位密钥的不同版本,本文只关注128位密钥的AES、192位和256位密钥版本,只是采用了不同的密钥扩展算法和更多的加密轮数。

AES是一个基于有限域运算的迭代密码。第i轮迭代根据16字节的输入状态 S_i 和一个16字节的子密钥 K_i ,产生一个16字节的输出状态 S_{i+1} 。除最后一轮之外,每一轮迭代运算都包括对 S_i 的以下4个代数运算:字节代换(Sub-Bytes),行移位(ShiftRows),列混淆(MixColumns),然后和轮子密钥 K_i 作异或运算(AddRoundKey)。

为了提高性能,现在常用的AES软件实现将前三个操作合并并且预先进行计算,结果存储在几个大的查找表(T_0, T_1, T_2, T_3)中,每一个查找

表将 1 字节的输入映射到 4 字节的输出。每一轮的运算都是首先将 S_i 分割成 16 字节的小块 $S_i^0, S_i^1, \dots, S_i^{15}$ ，之后进行如下的轮加密过程：

$$\begin{cases} (S_{i+1}^0, S_{i+1}^1, S_{i+1}^2, S_{i+1}^3) = T_0[S_i^0] \oplus T_1[S_i^5] \oplus T_2[S_i^{10}] \oplus T_3[S_i^{15}] \oplus (K_i^0, K_i^1, K_i^2, K_i^3) \\ (S_{i+1}^4, S_{i+1}^5, S_{i+1}^6, S_{i+1}^7) = T_0[S_i^4] \oplus T_1[S_i^9] \oplus T_2[S_i^{14}] \oplus T_3[S_i^3] \oplus (K_i^4, K_i^5, K_i^6, K_i^7) \\ (S_{i+1}^8, S_{i+1}^9, S_{i+1}^{10}, S_{i+1}^{11}) = T_0[S_i^8] \oplus T_1[S_i^{13}] \oplus T_2[S_i^2] \oplus T_3[S_i^7] \oplus (K_i^8, K_i^9, K_i^{10}, K_i^{11}) \\ (S_{i+1}^{12}, S_{i+1}^{13}, S_{i+1}^{14}, S_{i+1}^{15}) = T_0[S_i^{12}] \oplus T_1[S_i^1] \oplus T_2[S_i^6] \oplus T_3[S_i^{11}] \oplus (K_i^{12}, K_i^{13}, K_i^{14}, K_i^{15}) \end{cases} \quad (4)$$

轮计算的软件实现采用这种方法效率比较高,因为只进行了 16 次查表操作和 16 次 4 字节的异或操作。在初始密钥被扩展为 10 个轮密钥之后,一个完整的加密过程首先进行一次 16 字节明文 P 和 16 字节初始密钥 K 的异或操作(AddRoundKey),紧接着 9 次普通的轮加密操作,再加上一次更为简单的最后一轮。最后一轮没有列混淆(MixColumns)操作,这一步是关键的,因为它使得软件实现在最后一轮采用了一个新的 T_4 表。

128 位 AES 总共采用了 10 轮加密,但是需要 11 个 16 字节的子密钥,因为在轮加密之前有一次 16 字节明文 P 和 16 字节初始密钥 K 的异

$$\begin{cases} (C^0, C^1, C^2, C^3) = (T_4[S_{10}^0] \oplus K_{10}^0, T_4[S_{10}^5] \oplus K_{10}^1, T_4[S_{10}^{10}] \oplus K_{10}^2, T_4[S_{10}^{15}] \oplus K_{10}^3) \\ (C^4, C^5, C^6, C^7) = (T_4[S_{10}^4] \oplus K_{10}^4, T_4[S_{10}^9] \oplus K_{10}^5, T_4[S_{10}^{14}] \oplus K_{10}^6, T_4[S_{10}^3] \oplus K_{10}^7) \\ (C^8, C^9, C^{10}, C^{11}) = (T_4[S_{10}^8] \oplus K_{10}^8, T_4[S_{10}^{13}] \oplus K_{10}^9, T_4[S_{10}^2] \oplus K_{10}^{10}, T_4[S_{10}^7] \oplus K_{10}^{11}) \\ (C^{12}, C^{13}, C^{14}, C^{15}) = (T_4[S_{10}^{12}] \oplus K_{10}^{12}, T_4[S_{10}^1] \oplus K_{10}^{13}, T_4[S_{10}^6] \oplus K_{10}^{14}, T_4[S_{10}^{11}] \oplus K_{10}^{15}) \end{cases} \quad (5)$$

式中, C 是 16 字节的密文输出; T_4 是 AES 最后一轮的查找表。对密文的任意两个字节 C^i 和 C^j , 设存在一个 x 使得 $C^i = T_4[S_{10}^x] \oplus K_{10}^i$, 存在一个 y 使得 $C^j = T_4[S_{10}^y] \oplus K_{10}^j$ 。不考虑 x 和 y 的值, 只要当 $S_{10}^x = S_{10}^y$, 在查找 T_4 时就会发生一次 Cache 命中。假设 $S_{10}^x = S_{10}^y$, 则 $T_4[S_{10}^x] = T_4[S_{10}^y] = \alpha$, 那么 $C^i = \alpha \oplus K_{10}^i$, $C^j = \alpha \oplus K_{10}^j$, 也就是 $C^i \oplus C^j = K_{10}^i \oplus K_{10}^j$ 。反之, 若是 $C^i \oplus C^j \neq K_{10}^i \oplus K_{10}^j$, 则在查找 T_4 表的时候就会得到两个不同的值 α, β 。那么就会有 $\gamma = \alpha \oplus \beta = C^i \oplus C^j \oplus K_{10}^i \oplus K_{10}^j$, 因为 $K_{10}^i \oplus K_{10}^j$ 是由密钥决定的, 对于固定的明文字节差值 $C^i \oplus C^j$ 来说, γ 的值就是一个常数。

攻击的方法就是记录每次随机明文加密得到的密文 C 和对应的加密时间 t 。在获得足够的样本之后考察每个密文中所有的 C^i 和 C^j , 猜测对应的密钥字节 K_{xi} 和 K_{xj} , 根据式(1)计算 D 值并划分集合, 对两个集合中的时间值求平均之后差分, 根据差分值判断猜测密钥块的正确性。

3.3 实验及分析

根据前面介绍的攻击原理, 编写针对 AES-128 的 Cache Hit 攻击算法, 其中利用了根据 CPU 时间戳进行精确计时的指令 RDTSC^[4] 对

$S_i^1, \dots, S_i^{15}, K_i$ 分割成 16 字节的小块 $K_i^0, K_i^1, \dots, K_i^{15}$, 之后进行如下的轮加密过程:

$$\begin{cases} (S_{i+1}^0, S_{i+1}^1, S_{i+1}^2, S_{i+1}^3) = T_0[S_i^0] \oplus T_1[S_i^5] \oplus T_2[S_i^{10}] \oplus T_3[S_i^{15}] \oplus (K_i^0, K_i^1, K_i^2, K_i^3) \\ (S_{i+1}^4, S_{i+1}^5, S_{i+1}^6, S_{i+1}^7) = T_0[S_i^4] \oplus T_1[S_i^9] \oplus T_2[S_i^{14}] \oplus T_3[S_i^3] \oplus (K_i^4, K_i^5, K_i^6, K_i^7) \\ (S_{i+1}^8, S_{i+1}^9, S_{i+1}^{10}, S_{i+1}^{11}) = T_0[S_i^8] \oplus T_1[S_i^{13}] \oplus T_2[S_i^2] \oplus T_3[S_i^7] \oplus (K_i^8, K_i^9, K_i^{10}, K_i^{11}) \\ (S_{i+1}^{12}, S_{i+1}^{13}, S_{i+1}^{14}, S_{i+1}^{15}) = T_0[S_i^{12}] \oplus T_1[S_i^1] \oplus T_2[S_i^6] \oplus T_3[S_i^{11}] \oplus (K_i^{12}, K_i^{13}, K_i^{14}, K_i^{15}) \end{cases} \quad (4)$$

或操作。这 176 字节的密钥都是从 16 字节的原始密钥产生出来的, 方法是反复地从前一个 16 字节块通过一个非线性变换得到后一个 16 字节块, 直到得到所有的 176 字节密钥。这个密钥扩展结构在给出扩展密钥的 16 个连续字节的情况下是可逆的^[2]。这一点对攻击者来说是很有用的, 因为只要恢复了最后 16 字节扩展密钥(或者其他 16 字节), 就相当于恢复了原始密钥。

3.2 针对 AES 最后一轮的攻击

为了利用访问 Cache 时的索引不同而导致的时间差异对 AES 进行攻击, 考虑加密的最后一轮。正如前面所说, AES 加密的最后一轮没有列混淆操作而引入了另一个表 T_4 , 将式(4)转化为:

AES 的加密过程进行精确计时, 为了保证在每一次 AES 加密之前所有的查找表都不在 Cache 中, 需要在每次 AES 加密之前进行一次 Cache“清空”操作, 可以首先用 CPUID 指令^[4] 查找得到 Cache 大小 S , 然后在每次 AES 加密之前访问内存中大小为 S 的一块连续区域来实现确保将 AES 表元素都替换出 Cache, 同时 CPUID 指令还能获得 Cache 的行大小。

用攻击程序对 OpenSSL v.0.9.8(a) 库中的 AES 加密程序进行攻击, 使用 RedHat v2.4.20-8 和 gcc v3.2.3, 在如表 1 所示的环境下进行了实验。实验表明, 在 Cache 行大小为通常的 64 字节的情况下, 获取 4×10^4 组随机样本之后, 每一次对 2 个字节密钥块的差分时间分析能够获取每个字节前 2 位的异或关系, 对 AES-128 的最后一轮(即第 10 轮)的子密钥的全部 16 个字节分析之后, 可以获取后 15 个字节中任 1 个字节前 2 位与第 1 个字节前 2 位的异或关系, 因此在密钥搜索的时候猜测第 1 个字节的前 2 位之后就可以推测后 15 个字节中每个字节的前 2 位, 共确定 $2 \times 15 = 30$ 位。可以看出, 这种分析方法能够将这 16 个字节的密钥搜索空间从 2^{128} 缩小到 2^{98} 。

在猜测获得 16 字节的第 10 轮扩展密钥之

后,对每一个猜测的第 10 轮子密钥的 16 字节组,攻击程序反推原始密钥并且用一组已知的明文/密文来检验获得的密钥。

查表操作时 Cache 表现出的与索引值相关的“命中”和“未命中”的行为特征为密码分析提供了一条新的途径,而差分分析的统计方法可以有效地去除随机噪声并凸显出有用的数据。由于查表操作是现代 AES 加密快速而有效的实现途径,使得基于 Cache 时间特性的 AES 差分时间分析旁路攻击具有普遍的可行性。这种分析技术是以查表时 Cache 行为的时间特性为前提的,因而采用没有查表操作的 AES 实现方式是防御这种攻击的有效途径,Bernstein 提出过一种没有查表操作的 AES 加密算法的实现方式^[5],另一种防御这种攻击的途径就是在加密运算之前对 Cache 进行“预热”,即将表的内容预先调入 Cache 之中,这两种方法都是以牺牲加密运算的效率为代价。

参 考 文 献

- [1] Kocher P. Timing Attacks on Implementations of Diffie-hellman, RSA, DSS, and Other Systems[J]. LCN '96, New York, 1996
- [2] Osvik D A, Shamir A, Tromer E. Cache Attacks and Countermeasures: the Case of AES[C]. CT-RSA '06, Berlin, 2006
- [3] Daemen J, Rijmen V. The Design of Rijndael: AES-the Advanced Encryption Standard[M]. New York: Springer-Verlag, 2002
- [4] Intel. IA-32 Intel Architecture Software Developer's Manual[R]. Chapter 10. Intel Corporation, 2004
- [5] Bernstein D J. Cache-timing Attacks on AES[OL]. <http://crypto/antiforgery/cachetiming-20050414.pdf>, 2005

第一作者简介:邓高明,博士生,研究方向:信息安全。

E-mail: denggaoming26@163.com

Difference Timing Attack Against AES Based on Cache Timing Character

DENG Gaoming¹ ZHANG Peng¹ ZHAO Qiang¹ LIU Xiaoqin¹

(¹ Dept. of Computer Engineering, Ordnance Engineering College, 97 West Heping Road, Shijiazhuang 050003, China)

Abstract: By analyzing the relationship between the indexes of array accesses and Cache hit or miss, weakly linear dependence between array indexes and its access time was found and verified with array accesses experiment. Based on analyzing the relationship between the indexes of the array accesses during general crypto implementation and the plaintext/ciphertext with the key, the Cache timing based timing difference analysis side channel attack is proposed. The experiment shows that with 4×10^4 samples, the search space of the sub-key used in the last round of the AES-128 can be reduced from 2^{128} to 2^{98} .

Key words: side channel attacks; Cache timing character; difference analysis; AES

About the first author: DENG Gaoming, Ph. D candidate, he is mainly engaged in research on information security.

E-mail: denggaoming26@163.com